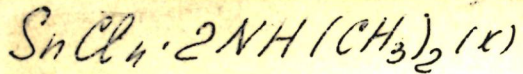


Sn-C-NPAs,Sb,
S Bi



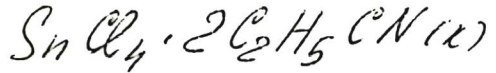
1977

(T_m)

4223-IV-TXB

Алексеев В.И.

Обзор по температурам и теплотам фазовых
превращений $\text{SnCl}_4 \cdot 2\text{NH}(\text{CH}_3)_2$, 2 с.



~~0927~~

(T_m)

4224-IV-71В

Алексеев В.И.

Обзор по температурам и теплотам фазовых
переходов $\text{SnCl}_4 \cdot 2\text{C}_2\text{H}_5\text{CN}$, 1 с.

$[(CH_3)_3Sn]_2S_{(x, n)}$

1977

(T_m , T_b)

4215-IV-П1В

Левитин И.Я.

Температуры плавления и кипения гекса-
метилдистаннилсульфида, 1 с.

$\left[\left(C_2H_5 \right)_3Sn \right]_2S$ (2:1)

297.1

(T_b)

4216-N-7CB

Левитин И.Я.

Температура кипения гексаэтилдистаний-
сульфида, 2 с.

$\text{Sn}[(\text{C}_2\text{H}_5)_3\text{P}]_2 \text{Cl}_4(\text{r})$

~~2077~~

(T_m)

4234-IV-ГХВ

Левитин И.Я.

Температура плавления бис-триэтилфосфин-
тетрахлоролова, 1 с.

$\left[\left(\text{C}_2\text{H}_5 \right)_3\text{PH} \right]_2 \text{SnCl}_6(\text{K})$

~~207~~

(P_m)

4235-IV-TKB

Левитин И.Я.

Температура плавления хлорстанната три-
этилфосфония, 1 с.

$\text{Sn}[(\text{C}_2\text{H}_5)_3\text{P}]_2\text{Br}_4(\text{K})$

(T_m)

~~1074~~
4236-IV-TIB

Левитин И.Я.

Температура плавления бис-триэтилфосфин-
тетрабромолова, 1 с.

$\left[\left(C_2H_5 \right)_3 PH_2 \right] SnBr_6 (K)$

~~2977~~

(T_m)

4237-IV-PIB

Левитин И.Я.

Температура плавления бромстанната
триэтилфосфония, 1 с.

1971

$\text{Sn}[(\text{C}_2\text{H}_5)_3\text{As}]_2\text{Cl}_4$ (II)
 (T_m)

4238-IV-7XB

Левитин И.Я.

Температура плавления бис-триэтиларсинг-
 тетрахлоролова, 11 с.

~~4238~~
Sn₂[(C₂H₅)₃As]₂Br₄(II)

(Pm)

4238^a-N-718

Левитин И.Я.

Температура плавления бис-триэтиларсинг-
тетрабромолова, 1 с.

$(CH_3)_3SnCNiC$
 (P_m)

~~4577~~
4222-N-ПКВ

Лайм Н.М.

Температура плавления триметилизоцианида
олова, 1 с.

$(CH_3)_3S_2SCN(t)$

(T_m)

5371
4237-IV-РХВ

Ло йм Н.М.

Температура плавления тиоцианата триметил-
олова, 1 с.

$Sn CNS^+$ (р-р, ∞ K_2O)
(sfG)

~~2977~~
4227-IV-ПКВ

Шеханова Л.Д.

Стандартный изобарный потенциал образования
роданидных комплексов олова /11/, 4 с.

$S_{II}(CNS)_3$ (р-р, ∞H_2O)
 (ΔfG)

4227-IV-РХВ

2577

Шеханова Л.Д.

Стандартный изобарный потенциал образования
роданидных комплексов олова /11/, 4 с.

$\text{Sn}(\text{CNS})_2$ (ф-р, $\infty \text{H}_2\text{O}$)

1971

(sf6^o)

4227-IV-РКВ

Шеханова Л.Д.

Стандартный изобарный потенциал образования
роданидных комплексов олова /11/, 4 с.

Sn Cl₄, 1½ PH₃ BQ-8004-IV | 1932

K_p
ΔH_f°

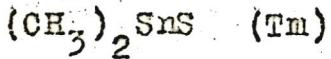
Höltje R.

Z. f. anorg. und
allg. Chem., 1932,
209, 241-49

6638

-IV

1933

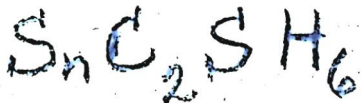


Kocheshkov K.A.

Ber. 1933, 66B, 1661-5.

Organometallic ...

Be



185Y-1D

Li, La, K, HgBr, CO(NH₂)₂, H₂O,

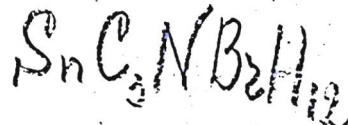
1934

(CH₃)₂NHBr, (CH₃)₂NHBr, NH₃ (HgCl in NH₃)

Kraus G.A., Schmidt P.C.

J. Am. Chem. Soc. 1934, 56, 2297-
2300

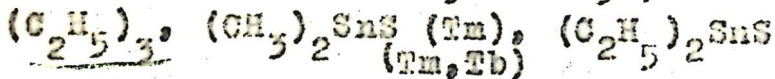
Illsots of solution and ...



1942

6639

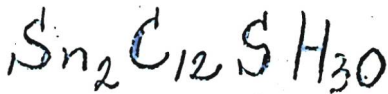
- 12



Harada T.

Bull. Chem. Soc. Japan, 1942, 17, 281-6

Be



8684

BP-3666-III

1942

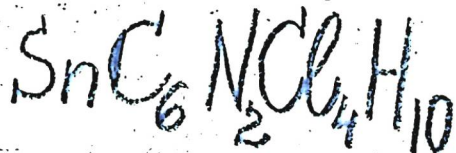
TiCl₄·C₂H₅CN, SnCl₄·2C₂H₅CN (Tm)

Pushin N.A., Ristic M., Parshonenko I.,
Ubovic J.

Ann. 1942, 553, 278-85

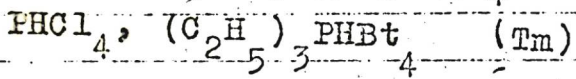
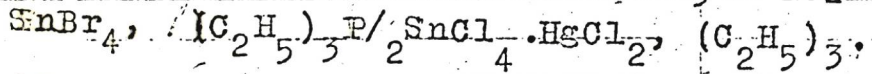
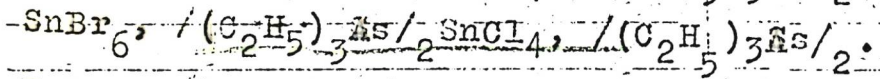
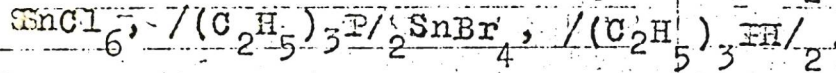
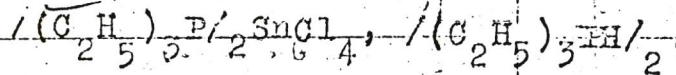
Binary systems ...

Bc



6640 - 11

1949



BE

$\text{SnCl}_2 \cdot \text{HgCl}_2 \cdot \text{H}_2\text{O}$

Allison J.A.C., Mann F.G.

J.Chem.Soc., 1949, 2915-21

Constitution of ()

$(C_6H_{13}N_2)_2SnBr_6$ BP-8681-IV 1953

$C_6H_{13}N_2SnBr_3 \cdot H_2O$ Pugh et.

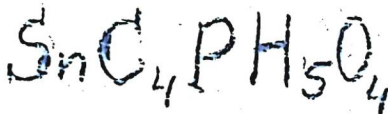
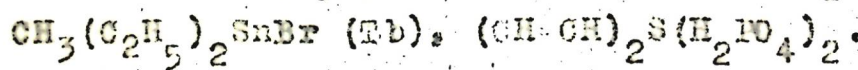
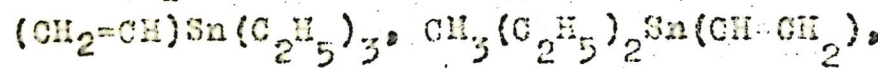
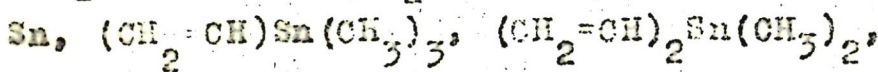
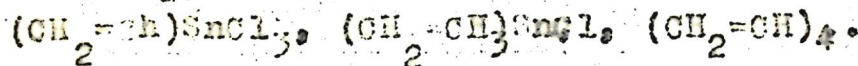
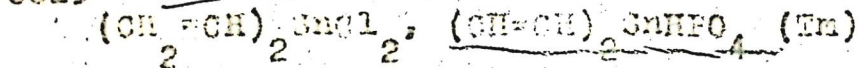
1953, 2491-3

Hydrazine. Part IV

1957

6623

- IV



Seyforth, D., Stone, P.G.A.

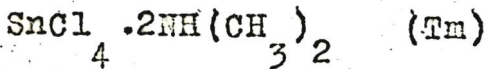
J. Amer. Chem. Soc., 1957, N. J.
~~72~~ 545-517

Vinyl derivatives of the metals

B6

6551 - BP - IV

1959

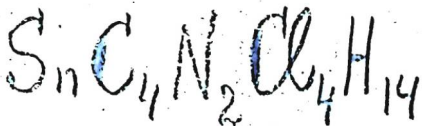


Bannister E., Fowles G.W.A.

J.Chem.Soc., 1959, Jan. 310-315

Reactions of tin ...

Be



БФ - 6878 - IV

1959

Sn Sb₂ Te₄

E.P. Глашина, Н.Х. Абдикасов.

Tm

Н. Игорь. Жуков, 1959, 4, (7),
1638-1642

Sn(NCS)₄

Green B.S. u.gp.

1960

Chemistry and Industry,

N42, 1306

конгруэнт

изопропановое метанов.

(C₂H₅)₂C₂H₅SnS₄) I

$(\text{C}_4\text{H}_9)_2\text{Sn}(\text{NCS})_2$ Green B.S. n.g.p. 1960

T_m

Chemistry and Industry,
N 42, 1306

Университет химии.

$(\text{C}_6\text{H}_5\text{C}_6 - \text{P} - \text{N})\text{I}$

$C_2H_5SnB_2_3$

BGP-6629-IV

1960

$(C_2H_5)_2SnB_2_2$

Matsuda H.

T_m, T_f

Matsuda S.

8474

-11'

1960

$\text{SiF}_4 \cdot 2(\text{CH}_3)_2\text{SO}$, $\text{GeF}_4 \cdot 2(\text{CH}_3)_2\text{SO}$,
 $\text{TiF}_4 \cdot 2(\text{CH}_3)_2\text{SO}$, $\text{ZrF}_4 \cdot 2(\text{CH}_3)_2\text{SO}$,
 $\text{SnF}_4 \cdot 2(\text{CH}_3)_2\text{SO}$, $\text{MoF}_4 \cdot 2(\text{CH}_3)_2\text{SO}$, $\text{TiF}_4(\text{CH}_3)_3\text{N}$,
 $\text{MoF}_4 \cdot (\text{CH}_3)_3\text{N}$, $\text{TiF}_4 \cdot 2\text{CH}_3(\text{OOH})$

Muettterties E.L.

J. Amer. Chem. Soc., 1960, 82, N 5,
1082-87

Stereochemistry of ...

Be

 $\bullet \text{SnC}_4\text{S}_2\text{F}_4\text{H}_2\text{O}_2$

6426 - BP - 1^D

1960

$(CH_3)_3GeJ$, $(CH_3)_3GeONH$, $(CH_3)_3SnJ$,
 $(CH_3)_3SnCN$, $(CH_3)_3GeNO_2$, $(CH_3)_3SnNO_2$,

$(CH_3)_3GeNH_2BF_3$ (Tm, Tb)

Beyferth D., Kahlon R.

J. Organ. Chem., 1960, 25,

N 5, 809-812

Trimethyl (iso) ...

Be

SnC₄NH₉

10082 — IV

1961

SnCNS⁺, Sn(CNS)₂, Sn(CN)₃⁻ (Кр)

Голуб А.М., Огняник С.С.

Укр.хим.ж., 1961, 27, № 3,
283-290

Роданидные комплексы олова /II/

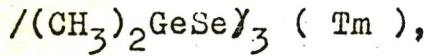
РХ., 1962, ЗВ53



SnCNS⁺

6436 - 11

1961

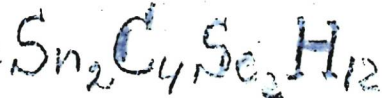


Schmidt M., Ruf H.

Angew. Chem., 1961, 73, N 2,
64

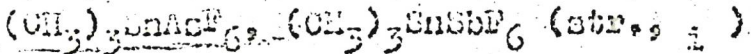
Organosilicium-, - . . .

Be



1963

7433 - D

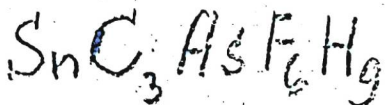


Clark H. C., O'Brien R. J.

Proc. Chem. Soc., 1963, pps. 113

Cobaltic bonding in ...

J



SnCl₄·2HCON(Me)₂ BOP-4086-IV 1964

Tm, Tf

SnBr₄·2HCON(Me)₂

Tm, Tf

SbCl₅·HCON(Me)₂

Tm, Tf. ↑

Dimethylformamide as a polar solvent. II. Electrochemical studies of Lewis acids in dimethylformamide. Ram Chand Paul, Sudha Singh, and B. R. Sreenathan (Univ. Panjab, Chandigarh). *Indian J. Chem.* 2(3), 97-101 (1964); cf. CA 60, 1171b. Lewis acids, viz., SO₃, SnCl₄, SnBr₄, AlCl₃, CdCl₂, and SbCl₅, form complexes in HCONMe₂ (DMF). The sp. and equiv. condns. of these complexes in DMF are comparable with those of protonic acids in DMF. Thus, 10 g. SnCl₄ on addn. to 25 ml. DMF and cooling in an ice bath gave a white solid, which after filtration, washing with CCl₄, and drying gave SnCl₄·2HCONMe₂, m. 220°, b. 242°, with sp. cond. 16×10^{-4} ohm⁻¹·cm.⁻¹ at 235°. SnBr₄ under similar conditions yielded SnBr₄·2HCONMe₂, m. 137°, b. 246°, with sp. cond. 8.2×10^{-4} ohm⁻¹·cm.⁻¹ at 160°. Addn. of 15 g. SbCl₅ to 25 ml. DMF, cooling the soln., and subsequent purification of the product yielded a hygroscopic product, SbCl₅·HCONMe₂, m. 133°, b. 160°, with sp. cond. 4.9×10^{-4}

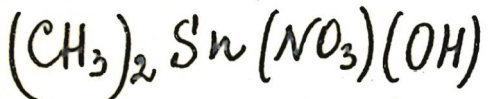
+ 1. IV - 9813 - people's hanan

(+1)

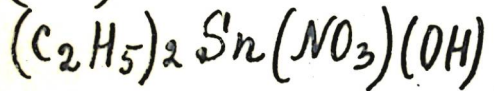
C. A. 1964 Q N 2 13513



$\text{ohm}^{-1}\text{-cm.}^{-1}$ at 143° . Freshly sublimed AlCl_3 , on similar treatment with DMF yielded $\text{AlCl}_3\cdot 6\text{HCONMe}_2$ (extremely hygroscopic). SO_3 was distd. directly into DMF, and the product obtained after cooling in an ice bath and purification gave a white hygroscopic solid, $\text{SO}_3\cdot \text{HCONMe}_2$, m. 138° , b. 145° , with sp. cond. $18.3 \times 10^{-4} \text{ ohm}^{-1}\text{-cm.}^{-1}$ at 140° ; the purified complex after sublimation *in vacuo* was quite stable in anhyd. MeOH and HOAc. A satd. soln. of CdCl_3 (37% wt./vol.) sep'd. white crystals on standing, which on purification as earlier yielded $2\text{CdCl}_2\cdot 3\text{HCONMe}_2$, m. $>300^\circ$; sp. cond. in the molten state could not be detd. Addn. of freshly prep'd. 3 g. NaOMe to a 20-ml. soln. of $\text{SO}_3\text{-DMF}$ complex in 25% MeOH yielded NaCONMe_2 as white solid, which was filtered, washed with CCl_4 , and dried. The complexes of SO_3 and SbCl_5 are as strong in the corresponding solns. of protonic acids. The equiv. condns. of SO_3 complex in HOAc and MeOH are comparable to those of protonic acids in the same solvent. These complexes are protonic in nature. The presence of protons was confirmed by electrolysis of the solns. of these complexes in DMF. The formation of $(\text{HCO})^+$ as the characteristic cation of the solvent is ruled out on the basis of cond. studies, electrolysis expts., and solvolytic reactions. The stability of the Na salt of the SO_3 complex is attributed to the coordination of Lewis acids to the O atom. The infrared study of the complex of strong Lewis acids indicates large variation in C:O absorption frequencies. An explanation for the liberation of protons in these complexes is also given. Formulas are proposed for the $\text{SO}_3\text{-DMF}$, $\text{SnX}_4\cdot 2\text{DMF}$ ($X = \text{Cl}$ or Br) and $\text{SbCl}_5\text{-DMF}$ complexes. In view of the above studies as well as those described earlier (*loc. cit.*), the protonic nature of the solvent is confirmed, and thus the equil. $2\text{HICONMe}_2 \rightleftharpoons (\text{H}_2\text{CONMe}_2)^+ + (\text{CONMe}_2^-)$ exists in pure DMF. V. H. Ahluwalia



B92-M417-IV 1965



Jasuda K
Okawara R.

(Tm)

"J. org. chem."
1965, N3, 76-83.

B92-41172-IV

1965

Sn-ccp.

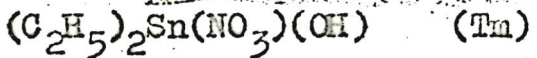
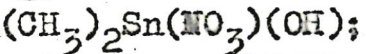
Phosphine sulfides-tin halide complexes. H. Teichmann (Deut. Akad. Wiss., Berlin). *Angew. Chem.* 77(17-18), 809 (1965)(Ger). Treatment of $R_2R'P:S$ with SnX_4 in CH_2Cl_2 or hexane gave the following stable 2:1 adducts in good yield (R , R' , X , and m.p. of $[R_2R'P:S]_2SnX_4$ given): Me, Me, Cl, 196-9°; Me, Me, Br, 182-4°; Et, Et, Cl, 194-6°; Et, Et, Br, 182-4°; Pr, Pr, Cl, 166-6.5°; Pr, Pr, Br, 176-7°; Bu, Bu, Cl, 93-5°; Bu, Bu, Br, 101-2°; Me, Ph, Cl, 174-7°; Me, Ph, Br, 155-7°. Similarly $(R_2P:S)_2$ and SnX_4 gave 1:1 adducts, $[(R_2P:S)_2]SnX_4$ (R , X , and m.p. given): Me, Cl, 145-7°; Me, Br, 152-4°; Et, Cl, 146-9°; Et, Br, 138-9°. H. Kubo

C.A. 1965. 63:13
17461C

M-417

-17

1965



Yasuda K., Okawara R.

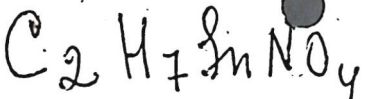
J.Organometallic Chem., 1965, 3, N 1, 76-83

Preparation and spectroscopic studies
of dialkyltin ...

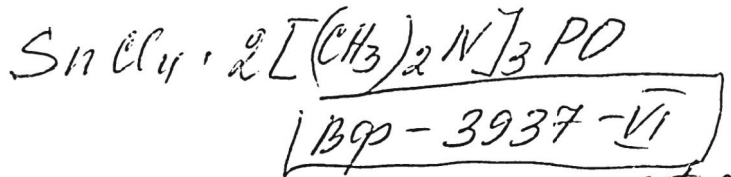
Be

orig.

PK, 1965, 18 192



Handwritten stamp



(Tm) Ziegler et al.
Naturwissenschaft,
1965, 52 (11), 302-3

1966

Sn -prosessor
c-)

Schumann H. et al.

T_m

Morgan, and Nucl. Chem.
Letters, 2 (10), 309.



(Cee. Ge -froefull)
-c)

I

1966

Триарилазиды оловазаряд оловаSn-органик

4 B41. Триарилазиды олова. Srivastava T. N.,
 Bhattacharya S. N. Triaryltin azides. «J. Inorg.
 and Nucl. Chem.», 1966, 28, № 6-7, 1480—1482 (англ.)

Описано получение R_3SnCl (I), где R — o- (Ia) и
 n-толил (Ib) или бензил (Iв). Ia получают обработкой
 R_3SnOH , р-ренного в хлф., конц. HCl и перекристалли-
 зацией из петр. эф. (т. кип. 60—80°). Ib образуется при
 взаимодействии R_4Sn с $SnCl_4$; выход 60%. Iв получен
 кипячением суспензии порошка Sn в H_2O с RCl и после-
 дующей экстракцией Iв в ац. с перекристаллизацией из
 ЭА. Т. пл. Ia 103, Ib 98, Iв 142°. Получены R_3SnN_3 (II)
 перемешиванием р-ра I в эф. с водн. р-ром NaN_3 (III)
 при $\sim 20^\circ$ в течение 1 часа. Эфирный слой промывают
 дважды водой для удаления непрореагировавшего III.

Х. 1967. 4

Осадок II сушат и перекристаллизовывают из соотв-его
р-рителя. Ниже указаны р-ритель перекристаллизации,
выход II (в %) и т. пл. (в °C): для IIa петр. эф., 50,
81; IIb гексан, 48, 115; IIc эф., 43, 119. II нер-римы в
 H_2O , но р-римы в обычных орг. р-рителях, мономерны в
бзл. и не проявляют взрывчатых св-в. II почти не под-
вергаются гидролизу в водно-орг. фазе. Сняты ИК-спек-
тры II, причем сильная полоса при $\sim 2080\text{ см}^{-1}$ отнесена
к асим. растягивающим колл. группы N_3 . Это свидетель-
ствует о ковалентном характере связи группы N_3 с ато-
мом Sn.

Р. Лидин

$(C_2H_5)_2SnSSP(C_2H_5)_2$ Φθ-Ι-5723

1964

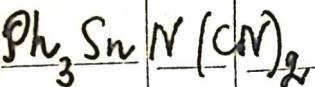
$Sn_2Sn[SSP(C_2H_5)_2]_2$

$C_2Sn[SSP(C_2H_5)_2]_2$ Bonati F, Cenini S, Ugol.

J. Organometallic Chem. 1964,
9, 413, 395-402

Tm

1968



Köhler H., Beck W.

Z. anorgan. und allgem.
Chem., 359, N 5-6, 241-245.

O greguosaanwesaz npe-
friesesremanen, - Sn,
- Pb.

I [Cee. $\text{Ph}_3\text{GeN}(\text{CN})_2$]

$\text{SnCl}_4(\text{CH}_3\text{CN})_3$ | 1968

Reedijk J. et al.

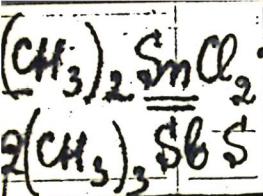
(Pm)

B9-6261-1

"Recueil trav. Chem."

1968, 87 N6, 552-68

1968



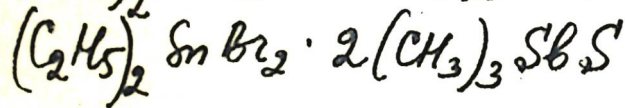
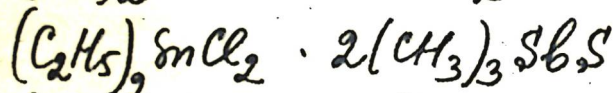
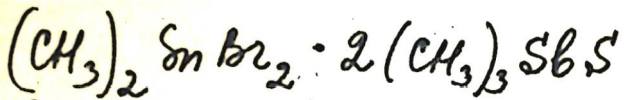
Shindo M., Matsumura A.,
OKawara R.

u gp.
(cu. H/05.)

J. Organometallic Chem.,
11, N2, 299.

T_m

Исследование серосера-
мно-органических цикло-
пенов и их коми-
лексов.
(cu. C-Sb...)



Sh Cl₄ · 2CH₃CN. Числ. ВР - 8218 - XIV 1968

17 В36. О взаимодействии $\text{SnCl}_4 \cdot 2\text{C}_6\text{H}_5\text{CN}$ с хлористым бензилом. Славинская Р. А., Сумарокова Т. Н. «ҚазССР Фылым Акад. хабарлары, Изв. АН КазССР. Сер. хим.», 1968, № 6, 35—41 (рез. каз.)

При взаимодействии $\text{SnCl}_4 \cdot 2\text{C}_6\text{H}_5\text{CN}$ (I) с хлористым бензилом получены комплексные соединения $\text{SnCl}_4 \cdot 2\text{C}_6\text{H}_5\text{CN} \cdot 4\text{HCl}$ (II), т. пл. 96° и $\text{SnCl}_4 \cdot 2\text{C}_6\text{H}_5\text{CN} \cdot 2\text{C}_6\text{H}_5\text{CH}_2\text{Cl} \cdot 2\text{HCl}$ (III), т. пл. 86°. II, и $\text{SnCl}_4 \cdot 2\text{CH}_3\text{CN} \cdot 4\text{HCl}$ (IV), т. пл. 88°, выделены при пропускании HCl через р-ры I и $\text{SnCl}_4 \cdot 2\text{CH}_3\text{CN}$ в дихлорэтане при 0°. Измерены молек. веса полученных соединений в о-нитрохлорбензоле; уд. электропроводность в нитрометане, а также ИК-спектры поглощения в области 400—3500 cm^{-1} . На основании полученных данных сделан вывод, что соединения II—IV являются солями, комплексный катион к-рых имеет структуру имина.

Резюме

T_m

X · 1969

17

80717.6482

X

$\text{SnCl}_2 \cdot 3\text{C}(\text{NH}_2)_2$;
 $\text{SnCl}_2 \cdot 2\text{C}(\text{NH}_2)_2$;
 $\text{SnCl}_2 \cdot 00870 \text{C}(\text{NH}_2)_2$ (Tm)

7968

B9-8242-XIV

Координационные соединения
с мочевиной и тиомочевиной.

$\text{Sn}(II)$

Сумарокова Т.Н., Сурпина Л.З.

"КазССР Гылды Акад. хабарлары,

Изв. АН КазССР. Сер. хим.", 1968, № 3,
24-31 /рэз. каз./

Есть ф. к.
б

778 778

Реф.

782 Винити

$(\text{CH}_3)_3\text{SnNCS}$

1969

9 Б612. Кристаллическая структура избороданида
тристиметилолова. Forder R. A., Sheldrick G. M.
The crystal structure of trimethyltin isothiocyanate. «Chem.
Communs», 1969, № 19, 1125—1126 (англ.)

Для проверки данных ЯГР- и ИК-спектроскопии о
строении Me_3SnNCS проведено его рентгеноструктурное
исследование (метод Вейсенберга, $\lambda\text{Cu}-K_{\alpha}$, 344 отраже-
ния). Кристаллы ромбич., $a = 13,20$, $b = 10,28$, $c = 12,01$ Å, $Z =$
 $= 8$, ф. гр. $Pbca$. Структура расшифрована методом тя-
желого атома и уточнена МНК с учетом анизотропии
для Sn и S, $R = 0,11$. Структура построена из зигзагооб-
разных цепей $-\text{S} \dots \text{Sn}=\text{N}=\text{C}=\text{S} \dots \text{Sn}-$, вытянутых

Кристалл
структура

X. 1970.9

вдоль оси c , причем все атомы (кроме CH_3 -групп) расположаются в плоскостях, перпендикулярных a . Цепи изогнуты только у атомов S. Группа $(\text{CH}_3)_3\text{Sn}$ почти плоская: $\text{N}-\text{Sn}-\text{C}$ 95°, $\text{C}-\text{Sn}-\text{C}$ 119°, $\text{Sn}-\text{C}$ 2,13 Å. Длина связи $\text{Sn}-\text{S}$ значительно больше значения 2,47 Å, характерного для ординарной связи. Кратность связи $\text{C}-\text{N}$ 2,5, связи $\text{C}-\text{S}$ 1,5. Повышенный порядок первой объясняет отсутствие взаимодействия $p_{\pi}(\text{N})-d_{\pi}(\text{Sn})$.

Ю. Т. Стручков

$\text{Sn}[\text{Se}_2\text{P}(\text{OEt})_2]_2$ BP-42-XIV 1969

Krishnan. V. et al.

(Tm)

Jorg. Chem., 1969,
8, N^o 2337-90

Sn-C-N.

сост

1870

3 Б840. Давление паров, масс-спектры, магнитные восприимчивости и термодинамика некоторых фталоцианиновых соединений. Bonderman Dean, Carter E. David, Bennett William E. Vapor pressures, mass spectra, magnetic susceptibilities, and thermodynamics of some phthalocyanine compounds. «J. Chem. and Eng. Data», 1970, 15, № 3, 396—400 (англ.)

Эффузионным методом измерено давл. паров фталоцианина кобальта (I), фталоцианинолова (II), дихлорфталоцианин олова (III), дифенил-фталоцианинолова (IV), гексадекахлорфталоцианина (V), гексадекабромфталоцианина (VI) и тетрафенилпорфина (VII). Вычислены константы ур-ния зависимости давл. пара I—VII от т-ры $\lg P(\text{атм.}) = A/T + B$, а также энтальпии (ΔH) и энтропии (ΔS) сублимации I—VII. Масс-спектры I, II и IV, полученные на время-пролетном масс-спектрометре, показывают, что эти соединения возгоняются без разложения. Исследована магнитная восприимчивость I;

P
4Hs;
; ; 4S

X. 1971. 3

II, V и VI. Найдено, что I — динамагнетик, а II, V и VI —
парамагнетики. Далее приведены соединение, A, B,
 ΔH (ккал/моль), ΔS э. е.: I; 9591 ± 234 ; $8,614 \pm 0,333$;
 $43,9 \pm 3,3$; $39,4 \pm 4,5$; II; 6452 ± 182 ; $5,056 \pm 0,290$; $29,5 \pm 2,4$;
 $23,1 \pm 4,5$; III; 11414 ± 315 ; $10,254 \pm 0,429$; $52,2 \pm 4,2$; $46,9 \pm$
 $\pm 6,0$; IV; 9136 ± 324 ; $8,347 \pm 0,485$; $41,8 \pm 4,5$; $38,2 \pm 6,6$;
V; 7367 ± 299 ; $11,886 \pm 0,710$; $33,7 \pm 4,2$; $54,4 \pm 9,9$; VI;
 5702 ± 295 ; $6,875 \pm 0,637$; $26,1 \pm 3,9$; $31,5 \pm 8,7$; VII; $5787 \pm$
 ± 87 ; $4,124 \pm 0,128$; $26,5 \pm 1,2$; $18,9 \pm 1,8$. И. Васильев

00304.9151 $\text{SnH}_2\text{NCSM}_2\text{Cl}_2$ 1970
Ex-Ch, Ch $\text{Sn}_2(\text{NH}_2\text{CSNH}_2)_6\text{-Br}_4$ 81-XIV
 $\text{Sn}(\text{NH}_2\text{CSNH}_2)_6(\text{BF}_4)_2(\text{Tm})$

Cassidy J., E., Moser W., Donaldson J.D.,
Jelen A., Nicholson D.G. Thiourea comple-
xes of tin(II) compounds. "J. Chem. Soc.". 1970, A, N 2, 173-175

(англ.)

XIV 81

ВР-81-XIV

Есть оригинал
внешние

33 44 047

Б

ВИНИТИ

00205.1969
Ch XIV 123

$(\text{CH}_3)_3\text{Sn NC}$
Cr. str. 96625

1970

Forder_R.A., Sheldrick G.M.

The crystal structure of trimethyltin
isothiocyanate.

"J. Organometal. Chem.", 1970, 21, N. 1,
115-122 (англ.)

Из

0038 ПИКИ

17 24 0 29

ВИНИТИ

Sn-C-N

1870

104671x Thermodynamics of reactions for the formation of
 $A + D \leftrightarrow A.D$ -type molecular compounds. Gol'dshtein, I. P.;
Gur'yanova, E. N.; Shcherbakova, E. S. (USSR). *Zh. Osnovn.*
Khim. 1970, 40(1), 183-91 (Russ). The thermodynamic parameters of ΔH , ΔS , and ΔG were detd. for the series of complexes formed by SnCl_4 , SnBr_4 , TiBr_4 , and GaCl_3 with such substances as MeCN , $(\text{CH}_2\text{OBu})_2$, $(\text{CH}_2\text{CH}_2\text{OEt})_2$, $(\text{CH}_2\text{SBu})_2$, $\text{CH}_2(\text{CH}_2\text{SBu})_2$, $(\text{CH}_2\text{CH}_2\text{SBu})_2$, PhCN , $\text{CH}_2:\text{CHCN}$, EtCN , Bu_2O , $(\text{C}_8\text{H}_{17})_2\text{O}$, Pr_2S , Bu_2S , $(\text{C}_7\text{H}_{15})_2\text{S}$, and Et_3N , as well as a wide selection of aliphatic esters, sulfides, phosphines and ethers in their complexes with I_2 , BF_3 , BCl_3 , Me_3B ; also included were complexes formed by Ph_2SO , Et_3N , and pyridine with PhOH , *p*-methoxy and *m*-Me analogs, as well as isomeric Cl analogs and NO_2 analogs. A linear relation exists between enthalpy of such complex formation and the entropy value. In case of some 81 such complexes this relation is general for donor-acceptor complexes. The linear relation between ΔH and ΔS is based principally on change in the internal degrees of freedom in the process of complex formation.

G. M. Kosolapoff

C.A. - 1870. 72-20

+2

18

00309.6701

Ch XIV128

Me₂ClSn(SSeCNMe₂)¹⁹⁷

Me₂Sn(SSeCNMe₂)₂(Tm)

Bp-128-XIV

Kamitani Takashi, Tanaka Toshio.

N, N-dimethylthioselenocarbamate

complexes of tin(IV)."Inorg. and Nucl.

Chem. Lett.", 1970, 6, N 1, 91-95

(англ.)

ЕСТЬ ОРИГИНАЛ

5

0062 ПИК

39 46

053

ВИНИТИ

Sn = C - P - класс

БР-4760-XIV

1970

18 В147. Комплексы переходных металлов с металлоорганическими замещенными фосфинами. VIII. Получение, свойства и комплексохимическое поведение бис-(trimethylstannyл)-метилфосфина. Schumann Herberg, Arbenz Ulrike. Organometallphosphin-substituierte Übergangsmetallkomplexe. VIII, Synthese, Eigenschaften und komplexchemisches Verhalten von Bis(trimethylstannyl)methylphosphin. «J. Organometal. Chem.», 1970, 22, № 2, 411—415 (нем.; рез. англ.)

Медленным добавлением р-ра Me_3SnCl в абс. эфире к смеси $\text{Et}_3\text{N} + \text{MePH}_2$ при коми. т-ре получен вязкий комплекс $(\text{Me}_3\text{Sn})_2\text{PMe}$ (I), а р-цией I с $\text{Ni}(\text{CO})_4$ в абс. Thf в атмосфере Аг выделен черный маслянистый комплекс $(\text{Me}_3\text{Sn})_2\text{MePNi}(\text{CO})_3$ (II). Аналогичными р-циями I с $\text{M}(\text{CO})_6$ в абс. Thf при облучении светом УФ-области

T₈

+2

X. 1970. 18

☒

получены оранжевые крист. комплексы $(\text{Me}_2\text{Sn})_2\text{MePM}(\text{CO})_5$, где $\text{M}=\text{Cr}$ (III) и Mo (IV). Степень окисления атомов Ni, Cr и Mo в II—IV равна нулю. Выход I, III и IV составляет 67, 55 и 62% соотв. I очень чувствителен к действию воздуха и хорошо р-рим в полярных и неполярных орг. р-рителях, напр., эфире, Thf , C_6H_6 , циклогексане и пентане. II кристаллизуется при охлаждении до $\text{t-ры} \leq -10^\circ$. III и IV хорошо р-римы в ароматич. углеводородах, гексане и метилциклогексане. Т. кип. I $68-71^\circ/0,1$, т. пл. III и IV $75-8$ и $95-8^\circ$ соотв., а т. разл. III и IV 135 и 150° соотв. Криоскопич. определение мол. веса свидетельствует о мономерности III и IV в C_6H_6 . Проведено отнесение полос в ИК-спектрах I—IV, сняты ПМР-спектры I—IV и обсуждена структура I—IV. II имеет симметрию C_{3v} , а III и IV C_{4v} . Сообщ. V см. РЖХим, 1970, 6Ж658.

И. С. Шаплыгин

1870

 $(\text{NH}_4)_2\text{SnBr}_6$

12 Б598. Диэлектрические свойства $(\text{NH}_4)_2\text{SnBr}_6$.
 Tsukakawa Shin, Ishibashi Yoshihiro, Tagagi Yutaka. Dielectric properties of $(\text{NH}_4)_2\text{SnBr}_6$.
 «Jap. J. Appl. Phys.», 1970, 9, № 12, 1530 (англ.)

Монокристаллы $(\text{NH}_4)_2\text{SnBr}_6$ (I) выделены из насыщ. р-ра НВг в H_2O (объемное отношение 1 : 20) методом медленного выпаривания. Выращенные в течение 3 недель при коми. т-ре монокристаллы I достигают линейных размеров до 8 мм и имеют ось симметрии 4-го порядка. Проведено поляризационно-микроскопич. исследование тонких монокрист. пластин I, в области т-р от —134 до —110° измерены диэлектрич. константы пластин, показавшие наличие фазовых переходов при —113,5 и —125,4°. Сделано предположение, что обнаруженные фазовые переходы имеют неферромагнитную природу, причем при —113,5° происходит фазовый переход 1-го рода.

В. Я. Рочев

Х. 1871.

12

Sn Cl₄(C₆H₅CN)₂

1971

5 В88. Исследование соединений, полученных действием хлорида четырехвалентного олова на ацетонитрил и некоторые арилацетонитрилы. I. Получение и анализ твердых соединений. Janier-Dubry Jean-Louis, Devin Claude, Perrrot Roger. Etude des composés d'addition obtenus par action du chlorure d'étain (IV) sur l'acétonitrile et quelques arylacétonitriles. I. Préparation et analyse des composés solides formés. «Bull. Soc. chim. France», 1971, № 8, 2816—2819, VII (франц.; рез. англ.)

Действие SnCl₄ на орг. нитрилы (RCN) приводит к образованию бесцв. хорошо кристаллизующихся соеди-

X. 1972. 5

нений типа $\text{SnCl}_4(\text{RCN})_2$ (A), где R=Me (I), PhCH_2 (II), o-MeC₆H₄CH₂ (III), m-MeC₆H₄CH₂ (IV), n-MeC₆H₄CH₂ (V), n-NO₂C₆H₄CH₂ (VI), n-Cl-C₆H₄CH₂ (VII). Т. пл. I—VII соотв. 123, 107, 70 (разл.), 68—70 (разл.), 92, 101, 85—7° (разл.). SnCl_4 и RCN предварительно р-ряли в CCl₄, C₆H₆ или петр. эф. Проведено исследование образования A в условиях стехиометрического соотношения и произвольно заданных пропорциях SnCl₄ и RCN. Показано, что во всех случаях образуются A. Для жидк. RCN при обычных т-рах этот вывод подтвержден калориметрическим титрованием. Рассмотрено влияние р-рителей на образование A. А. Е. Голуб

$\text{SnCl}_4(\text{MeCN})_2$ (T_m) $\times \bar{\Sigma} 3246 / 1971$

Janier-Dubry J.-L., Devin C., Perron R.

Bull. Soc. chim. France, 1971, N8, 2816-2819 (pp.)

Исследование соединений, полученные
действием хлорида гептирахбалентного
алюминия на ацетонитрил и некоторые арил-
ацетонитрилы. I. Получение и анализ
твёрдых соединений.

РЖХ № 27, 1972

5B88

65 Ⓢ

$(C_2H_5)_3SnN(C_2H_5)_2$ Касекова Т.М. упр. 1971

Докл. АН СССР,

ΔH_f

1971, 200, № 1, 111.

(Cu-Si-C-N)I



4 В19. Новые тиофосфоримиды. Riess Jean G., Wolff App e. New thiophosphorimides. «J. Chem. Soc. Chem. Commun», 1972, № 19, 1050 (англ.)

1972

Реакцией стехиометрич. кол-в S и $P_4(NMe)_6$ (A) получены $P_4(NMe)_6S_n$ (т. пл. 95, 125, 174 при $n=1, 2, 3$, соотв.), дающие A по ф-ции с Ph_3P . Смеси тиофосфоримидов с различными отношениями S/A получены также присоединением S к A, нагреванием р-ров соединений ряда $P_4(NMe)_6S_n$ ($n=1—3$) в C_6H_6 или $CHCl_3$, нагреванием 2 или более соединений ряда $P_4(NMe)_6S_n$ ($n=0—4$), присоединением к A серы из Ph_3PS , отрывом серы от $P_4(NMe)_6S_4$ с помощью Ph_3P или Bi_3P . При нагревании смесей в-в с различным отношением S/A в C_6H_6 или $CHCl_3$ за 8 недель при 80° или за неделю при 145° достигается равновесие; состав равновесной смеси при данной т-ре зависит только от отношения S/A. В $P_4(NMe)_6S_n$ сера замещается селеном, атомы O не присоединяются по периферии молекулы A.

И. В. Никитин

номер.

X. 1973. N 4

40213.6009

DB, Ch, Ph, Ex-

$\text{Me}_2\text{Sn}(\text{PO}_2\text{H})_2$; $\text{Et}_2\text{Sn}(\text{PO}_2\text{H})_2$,
 $\text{Me}_2\text{Sn}_3(\text{PO}_4)_2$, $\text{Et}_2\text{Sn}(\text{PO}_3)_2$

$\text{Et}_2\text{Sn}(\text{PO}_3\text{H})(\text{Im})$ XIV 55329.

Chivers T., Rood J.H.G. van, Ruddick
J.N.R., Sams J.R.

The synthesis, Mossbauer and infrared
spectra of some dialkyltin salts of H_3PO_4
phosphorus oxy-acids. "Can.J.Chem.", 1973,
51, N22, 3702-3711 (англ., рез. франц.)

027 027

0.0330043 ПЕКВИНИТИ

Sn-C

1973

11 Б706. Термодинамические характеристики сублимации фталоцианинов. Мас-
Кау А. Г. Heats of sublimation of phthalocyanines.
«Austral. J. Chem.», 1973, 26, № 11, 2425—2433 (англ.)
Исследованы спектры поглощения паров фталоцианинов. По т-рной зависимости оптич. плотности рассчитаны термодинамические характеристики сублимации фталоцианинов олова, ванадия, цинка (I), никеля (II), палладия (III), свинца (IV), молибдена, платины (V), меди, кобальта (VI), железа. Значения $-\Delta H$ (субл.) составили соотв.: 204 ± 8 ; 223 ± 8 ; 234 ± 5 , 237 ± 12 ; 239 ± 12 , 242 ± 8 , 244 ± 8 ; 245 ± 6 , 249 ± 10 , 251 ± 12 , 288 ± 8 кДж/моль. Фталоцианин марганца разлагается. Определены показатели преломления I—VI: 1,658; 1,654; 1,652; 1,666; 1,651; 1,701 соотв. Изменение термодинамических характеристик обсуждается с точки зрения влияния металла на электронную плотность периферич. азота фталоцианинового кольца и межмолек. взаимодействий.

И. Васильев

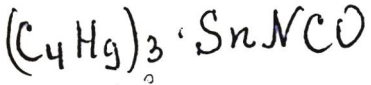
(ΔHs)

X. 1974

III

+10





1973

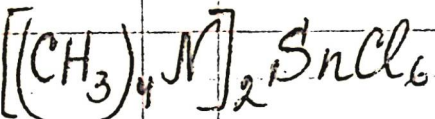
№ 18 Б518. Термохимия три-н-бутилоловоизоцианата и
 N,N' -бис(три-н-бутилолово)карбодиимида. Журав-
лев Е. З., Селиванов В. Д., Герега В. Ф., Дер-
гунов Ю. И. «Ж. общ. химии», 1973, 43, № 5, 1095—
1097

(дНт)

В калориметре с изотермич. оболочкой и бомбой пере-
вернутого типа измерены теплоты сгорания $(n-C_4H_9)_3-$
 $SnNCO$ (I) и $(n-C_4H_9)_3 SnN=C=NSn(n-C_4H_9)_3$ (II).
Полученные результаты использованы для расчета теп-
лот образования ($-\Delta H^\circ$, ккал/моль) в жидк. и газ. со-
стояниях, теплот атомизации и энергий связи Sn—N, соста-
вивших при $298,15^\circ K$, соотв.: I $87,8 \pm 1,4$, $81,9 \pm 1,6$,
 $-3955,5 \pm 1,6$, 102 ± 5 ккал, II $85,6 \pm 1,3$, $79,9 \pm 1,5$,
 $-7536,2 \pm 1,5$ и 100 ± 5 ккал.

А. Гузей

Х. 1973 № 18



1474

18128w Raman spectrum and phase transition in bis(tetramethylammonium)uranium hexachloride and bis(tetramethylammonium)tin hexachloride. Von der Ohe, Werner (Univ. California, Los Angeles, Calif.). 1974. 286 pp. (Eng). Avail. Xerox Univ. Microfilms, Ann Arbor, Mich., Order No. 75-5695. From Diss. Abstr. Int. B 1975, 35(9), 4601-2.

(Ttr)

8

$[(\text{CH}_3)_4\text{N}]_2\text{UCl}_6$

(+1)



C.A. 1975. 83 N2

41008.6646

58810 GR 02

1974

Ch, DB. $\{[(CH_3)_2Sn]_3[N_3]\}^{2+}$. (12) XIV 6004

$[(CH_3)_2Sn(N_3)_4]^{2-}(K_p)$

Pellerito L. Potentiometric studies
on azido complexes of the aquodimethyl-
tin(IV) cation in aqueous solution.

"J. Electroanal. Chem.", 1974, 354, N 2,

405-409

(англ.)

3

0207 ПИК

174 174

0199

ВИНИТИ

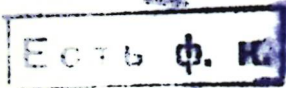
$\text{Sn}(\text{NMe}_2)_2(\text{Pn})$ XIV-7420

1975

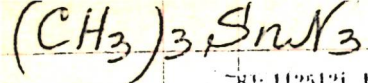
Foley P., Zeldin M.,

Inorg. Chem., 1975, 14, N9,

2264-2267

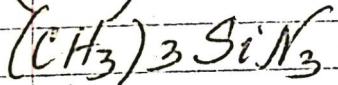
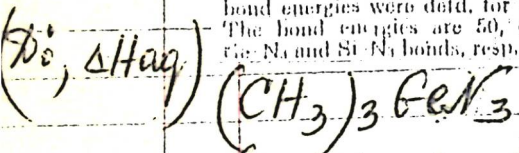


5



1976

81: 112512j Heats of hydrolysis and bond energies for trimethyl-silicon, germanium and tin azides. Adeosun, S. (Dep. Chem., Univ. Ife, Ile-Ife, Nigeria). *Inorg. Nucl. Chem. Lett.*, 1976, 12(3), 301-5 (Eng). The heats of hydrolysis and bond energies were detd. for Me_3SnN_3 , Me_3GeN_3 , and Me_3SiN_3 . The bond energies are 50, 62, and 76 kcal/mole for $Sn-N$, the N and $Si-N$ bonds, resp.

+2

C. et. 1976. 84 n 16

SrCN (калийхлор)

1976

(Kp)

Delimarskii Yu. K.

Zh. Neorg Khim

1976, 1977 (2) 413-17

(Russ)

(ав SrF⁺; I)

60906.8742

58645

XIV-7735

Ch

SnCl₄·2CaCN/Tm

1976

Labaye Marie-Hélène, Doucet André,
Perrot Roger, Dubois Claude.
 Etude des systèmes binaires formés par le
 chlorure de cyanogène et par les tétrachlo-
 rures de carbone, de silicium, de germani-
 um et d'étain.

"Helv.chim.acta", 1976, 59, N 5, 1867-1879.
 (франц., рез. англ.)

Б

0695 ДМК

ВИНИТИ

663 663

6.97

$[(C_2H_5)_2N]_2SO_2SnCl_4$

1976

B.P. - XIV - 7462

86: 9198d Binary systems of tetraethylsulfamide with tin tetrachloride, sulfinyl chloride, sulfonyl chloride, and phosphoryl chloride. Makitra, R. G.; Yas'kovyak, A.; Tsikanchuk, Ya. M. (L'vov. Politekh. Inst., Lvov, USSR). Zh. Neorg. Khim. 1976, 21(10), 2870-2 (Russ). The title systems were studied by a visual-polythermal method. The 1st 3 systems contain congruently melting compds.: $(Et_2N)_2SO_2 \cdot SnCl_4$ +50.5; $(Et_2N)_2SO_2 \cdot SOCl_2$ -85.5; $2(Et_2N)_2SO_2 \cdot SO_2Cl_2$ -72°. The $POCl_3$ systems shows a neg. dev. from the Schroeder equation on the $POCl_3$ side. These systems tend to supercool and form glasses.

(T_m)

④2

C.A. 1977 86 N2

Sn-C-H-P (согласие)

1976

2 В66. N,N',P,P-тетраметиламино-иминофосфоран —
новый бидентатный хелатообразующий лиганд. Schen-
ger O. J., Schnabl G. N,N',P,P-tetramethylamino-imino-
phosphorane: a new bidentate chelate ligand. «Inorg.
Chim. Acta», 1976, 19, № 2, L38 (англ.)

При взаимодействии $\text{MeNH}-\text{PMe}_2=\text{NMe}(\text{HL})$ с
 $n\text{-BuLi}$ получен LiL , к-рый реагирует с SnCl_4 с образо-
ванием нового хелата состава SnL_2Cl_2 (I). Найдено, что
белый крист. I крайне гигроскопичен, имеет т. пл.
151—153°, хорошо р-рим в CH_2Cl_2 , CHCl_3 , не-рим в
петр. эфире и бзл. Спектр ЯМР ^{31}P 20%-ного р-ра I
в CH_2Cl_2 с 85%-ным р-ром H_3PO_4 в кач-ве внешнего
стандарта, содержит сигнал с хим. сдвигом —49,1 млн. д.
Спектры ПМР 10%-ного р-ра I в CH_2Cl_2 с Me_4Si в
 кач-ве внутреннего стандарта содержат 2 дублета групп-

*Tm
Структ.
Соедин.*

X 1977 № 2

лы $\text{Me}(\text{P})$ при $-1,44$ млн. д. и $\text{Me}(\text{N})$ при $2,72$ млн. д. Изучение т-риой зависимости спектров ПМР показало, что I в р-ре стереохимически мобилен. Найдено, что при -60° в спектре ПМР I происходит расщепление сигнала протонов группы MeN на 2 дублета, причем дублет, отвечающий протонам группы MeP , остается неизменным. Это подтверждает цис-структуру I при низких т-рах. Отсутствие зависимости т-ры коалесценции от конц-ии I, а также отсутствие обмена $^{117,119}\text{Sn}-\text{NMe}$ подтверждает возможность внутримолек. конфигурац. перегруппировки в I. Приведены данные масс-спектра для I. Описан синтез HL, заключающийся во взаимодействии MePCl_2 с MeNH_2 и далее с MeJ и NaH .

Н. А. Добрынина

$\text{Sn}(\text{SO}_3\text{CF}_3)_4$ (T_m) XIV-8968 1977

Batchelor R.J., Ruddick J.N.R.,
Sams J.R., Aubrey F.

Inorg. Chem., 1977, 16, N6, 1414-1417 (ann.).

Trifluoromethyl sulfates of Zn.

PTI Xviii, 1977

23B31

● 5 Ⓢ

$(\text{NH}_3\text{C}_3\text{H}_7)_2$
 $\cdot \text{SnCl}_5$

фазовый
переходы

5

Х. 1949, № 1

11 1883. Термовые, оптические и упругие свойства сегнетоупругих хлороплатината и хлоростанината изопропиламмония (ИПАХП и ИПАХС). Bhalla A. S., Cross L. E., Raupel D. A. Thermal, optical, and elastic properties of ferroelastic isopropyl ammonium chloroplatinate (IPACP) and chlorostannate (IPACS). «Phys. status solidi», 1978, A50, № 2, 661—667 (англ.; рез. нем.)

1978

Исследованы физ. св-ва кристаллов $(\text{NH}_3\text{C}_3\text{H}_7)_2\text{PtCl}_6$ (I) и $(\text{NH}_3\text{C}_3\text{H}_7)_2\text{SnCl}_6$ (II), являющихся сегнетоэластиками при т-рах ниже 37 и 40° соотв. Найдены параметры крист. решетки обоих кристаллов в сегнетоэластич. и изотропной фазах. С помощью ДТА установлено наличие эндотермич. фазовых переходов при соотв-щих т-рах. Изучены т-рные зависимости теплоемкости и теплового расширения, коэф. двупреломления, угла наклона оптич. индикатрисы, спектров поглощения при коми. т-ре и энергии, отвечающей краю поглощения. Изучены также упругие постоянные обоих кристаллов на частоте 20 мгц. Проведенные исследования подтверждают наличие в I и II мартенситного перехода, однако не значит. разупорядочение решетки при фазовом переходе не дает возможности установить его характер.

И. А. Клейнман

$C_2V_2S_2Sr$ [Lommel 7123] 1978.

Filby et al.

Kspcatal.
compos.

J. Chem. Soc. Dalton

Trans., 1978, 1797-99.

1980

*Sr₂P₂S₆**SbSJ*(T_{cr})

(+) №

15 Б991. Тепловое расширение кристаллов Sn₂P₂S₆ и SbSJ в области сегнетоэлектрических фазовых переходов. Гомоннай А. В., Коперлес Б. М., Грошник И. И., Гурзан М. И. «Физ. тверд. тела», 1980, 22, № 3, 930—932.

В интервале т-р 270—400 К измерены т-ные коэф. линейного расширения (ТКЛР) вдоль направлений [010] и в плоскости симметрии вблизи [101] кристаллов Sn₂P₂S₆ (I). Проведено сравнение с ТКЛР вдоль сегнетоэлектрич. оси и перпендикулярно к ней для SbSJ (II), претерпевающего фазовый переход (ФП) 1-го рода типа смещения при 295 К. Установлено, что в области ФП для I при т-ре ~340 К имеет место аномальная зависимость ТКЛР от т-ры. В области сегнетоэлектрич. ФП для II также обнаружена аномальная зависимость ТКЛР, и при этом наблюдается сильная анизотропия. Из сравнения хода т-ных зависимостей ТКЛР для кристаллов I и II сделан вывод, что в случае I имеет место аномалия, характерная для ФП 2-го рода. Рассчитан скачок ΔC_p для I при ФП, составляющий 8,3 кал/(моль·град).

М. В. Ландау

2 1980 N 15

1980

SnAs

16 Б842 Деп. Термодинамические функции моноарсенида олова. Кощенко В. И., Пашиккин А. С., Демиденко А. Ф., Ячменев В. Е., Лепков А. А. Моск. хим.-технол. ин-т. М., 1980. 6 с., библиогр. 10 назв. (Рукопись деп. в ВИНИТИ 23 мая 1980 г., № 2023—80 Деп.)

В интервале т-р 5—310 К измерена изобарная теплоемкость C_p SnAs. Для эксперимента использовался вакуумный адиабатич. калориметр с автоматич. регулированием адиабатич. условий. Образец содержал не более 10^{-4} вес.% примесей. Как эталонное в-во для проверки и градуировки установки применяли Al_2O_3 . Погрешности в определении теплоемкости не превышали 1,5, 0,5 и 0,3% в интервалах т-р 5—40, 40—100 и 100—310 К. По значениям C_p определены т-рные изменения термодинамич. функций моноарсенида олова. При $T=238,15$ К значения теплоемкости, энтальпии, энтропии и функции энергии Гиббса равны 51,2 Дж/моль·К, 11 600 Дж/моль, и 88,0 и —48,2 Дж/моль·К соответственно.

Автореферат

Cp; 5, 44
4G

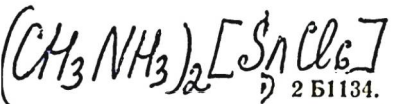
Х 1980 № 16

$(CH_3NH_3)_2[SnCl_6]$ 057 12552 1981

95: 178960n Calorimetric and spectroscopic studies of the critical phase transition in methylammonium hexachlorostannate(IV). Matsuo, Takasuke; Ueda, Masakatsu; Suga, Hiroshi (Fac. Sci., Osaka Univ., Toyonaka, Japan 560). *Chem. Phys. Lett.* 1981, 82(3), 577-80 (Eng). $(CH_3NH_3)_2[SnCl_6]$ undergoes a crit. phase transition at 154.32 ± 0.06 K with the crit. exponents $\alpha = 0.36 \pm 0.04$, $\alpha' = 0.19 \pm 0.02$, the crit. entropy ratio 0.062 and total transition entropy (1.60 ± 0.18) R. IR spectral change favors the order-disorder mechanism of the transition proposed from the thermodn. data.

T_{t2}

C.A. 1981, 95, n 20



отт 12.552 1981

2 Б1134. Калориметрическое и спектроскопическое исследования критического фазового перехода в $(\text{CH}_3\text{NH}_3)_2[\text{SnCl}_6]$. Matsuo Takasuke, Ueda Masa-
katsu, Suga Hiroshi. Calorimetric and spectroscopic studies of the critical phase transition in $(\text{CH}_3\text{NH}_3)_2[\text{SnCl}_6]$. «Chem. Phys. Lett.», 1981, 82, № 3,
577—580 (англ.)

С помощью калориметрии и ИК-спектроскопии изучен крит. фазовый переход в $(\text{CH}_3\text{NH}_3)_2[\text{SnCl}_6]$ (I). I синтезирован из подкисленного водн. р-ра хлорида метиламмония и SnCl_4 упариванием, после чего перекристаллизован из водн. р-ра. Установлено, что крит. фазовый переход в I совершается при $154,32 \pm 0,06$ К. Энтальпия и энтропия перехода равны 1780 ± 200 Дж/моль и $13,30 \pm 1,5$ Дж/град К·моль соотв. Из термодинамич. данных сделано предположение, что переход относится к превращениям типа порядок—беспорядок.

Л. Г. Титов

фазов.
переход,
 $\Delta H_{\text{ср}}, \Delta S_{\text{ср}}$

Х. 1982, 19 АБ, №.

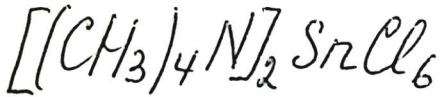
$\text{Sr}_n\text{NCS}_n^{2-n}$

1981

Саекои-Чесеко Б. Ип.
"gp."

(кс) Укр. хем. ж., 1981, 47,
NS, 483-488.

• $(\text{а. SrCl}_n^{2-n}; \text{I})$



1982

Furukawa Yoshihiro,
Prabhunirashi Laxman
Tet; et al. S.

Bull. Chem. Soc. Jap., 1982,
55, N⁴, 995-998.

(c.c. $[(CH_3)_4N]_2PtCl_6$; I)



1982

K₂, SrH,
Ag, SrF;

Камробига А.Б.,
Абнореорепан диссер-
тация на соискание
Ученой степени к.х.н.,
Ивано • 80, 1982.

$(CD_3NO_3)_2[SnCl_6](K)$

1985

Suga H., Sakiya-
ma M., et al;
G (13-300K) Bulletin of Chem-
SmH; Thermodyn., 1985, 28,
p. 227

Cucmena [Om. 25728]

1986

$\text{Sn}_3(\text{PO}_4)_2 \cdot \text{SnF}_2$ Grzeskowiak D.,
Znanierowska T.

правое рабочее Pol. J. Chem., 1986,
60, N 1-3, 37 - 43.

1987

 $[(C_2H_5)_2NH_2]_2SnCl_6$

21 Б3194. Структурные фазовые переходы в металлах хлоралкиламмония. Structural phase transitions in chloroalkylammonium — metallates. Fuess H., Pabst I., Körfer M., Ben Ghozlen H., Czjzek M. «14th Int. Congr. Crystallogr., Perth, 12—20 Aug., 1987. Collect. Abstr.» Nedlands, 1988, 86 (англ.)

Методом РФА при 330 К в $[(C_2H_5)_2NH_2]_2SnCl_6$ обнаружен обратимый структурный фазовый переход (ФП) $P2_1 \rightarrow P2_1/n$, а при 264 К переход $C2/c \rightarrow P2_1/c$ в $[(C_2H_5)_4N]_2ScCl_6$. При 348 К в $(CH_3NH_3)_2CuCl_4$ идет ФП из монокл. (стабильной до 100 К) в ромбич. фазу. Исследование методом ЯМР в обл. т-р 80—340 К показало, что в монокристалле $CH_3NH_3HgCl_3$ углы между осями групп CH_3NH_3 и полярными осями постепенно увеличиваются. Изучение методом нейтронографии этого же соединения подтвердило модель скачкообразного вращения групп CH_3^- и NH_3^- вокруг осей C—N в сегнетоэлектрич. фазе. Подобным же образом ведет себя соединение $(CH_3NH_3)_4Y$ в Cl_7 , к-рое парамагн. вплоть до 5 К.

В. А. Ступников

x. 1988, № 21

$(CD_3ND_3)_2 \cdot SnCl_6$ Людмила 1988

14 Б3022. Калориметрическое исследование фазового перехода в гексахлоростаннateдейтерированного метиламмония. Calorimetric study of the phase transition in deuterated methylammonium hexachlorostannate. Matsuo Takasuke, Yan Hal-Ke, Suga Hiroshi. «J. Phys. and Chem. Solids», 1988, 49, № 1, 85—90 (англ.).

В интервале т-р 13—300 К измерена C_p , $(CD_3ND_3)_2 \cdot SnCl_6$. Пик C_p , соотв. фазовому переходу, лежит при $154,96 \pm 0,06$ К, максим. $C_p = 380,2$ Дж/К·моль. Для $\Delta_{trs}H$ и $\Delta_{trs}S$ получено 2,81 кДж/моль и 21,8 Дж/К·моль. Предложены модели разупорядочения, объясняющие значит. эксперим. величину ΔS . Особое внимание уделено различным типам симметрии двух фаз. Табулированы с шагом 10 К сглаженные значения термодинамич. ф-ций. При 298,15 К значения C_p°/R , $(H^{\circ} - H_0^{\circ})/RT$ и S°/R соотв. равны 38,69, 27,08 и 59,97.

Р. Г. Сагитов

X. 1988, 19, N 14

$(CD_3ND_3)_2SnCl_6$ (011-28805) 1988

108: 214306b Calorimetric study of the phase transition in deuterated methylammonium hexachlorostannate. Matsuo, Takasuke; Yan, Haike; Suga, Hiroshi (Fac. Sci., Osaka Univ., Toyonaka, Japan 560). *J. Phys. Chem. Solids* 1988, 49(1), 85-90 (Eng). The heat capacity of $(CD_3ND_3)_2SnCl_6$ was measured at 13-300 K. A peak due to the phase transition occurred at 154.96 K. Crit. properties of the transition were characterized by detailed measurement around T_c . Models of disorder that carry large enough entropy to explain the exptl. transition entropy are proposed, with particular attention paid to the symmetry of the 2 phases.

(ρ, P_{Tc})

C.A. 1988, 108, N28

$\text{CH}_3\text{NH}_3\text{SnBr}_3$ (OM. 31804)

1988

Yamada R., Nose S.,
et al.,

Pd30B.
repexog,
 T_{t2}

Bull Chem. Soc. Jap, 1988,
61, N12, 4265-4268.

$(CD_3ND_3)_2[SnCl_6]$

1989

▷ 18 Б3121. Упорядоченная и разупорядоченная структуры $(CD_3ND_3)_2[SnCl_6]$. Ordered and disordered structures of $(CD_3ND_3)_2[SnCl_6]$ / David W. I. F., Harrison W. T. A., Ward R. C., Leadbetter A. J., Matsuo T., Suga H. // Physica. B.— 1989.— 156—157.— С. 96—98.— Англ.

При т-рах 5, 140, 170 и 300 К методом порошковой нейтронографии высокого разрешения с преобразованием Фурье исследованы структуры высокот-рной и низкот-рной фаз $(CD_3ND_3)_2[SnCl_5]$, где по лит. данным т-ра перехода 154,96 К и $\Delta_{trs}S = 20,7$ Дж/(К·моль). В высокот-рной фазе, имеющей пр. гр. $R\bar{3}m$, D распределен равномерно между двумя зеркальными положениями с расстояниями между атомами D 0,84 Å.

ж. 1989, N 18

Низкот-риая фаза, имеющая, как установлено, пр. гр. $\bar{R}\bar{3}$, является упорядоченной, со смещением атомов Cl от их симм. положения на 0,1 Å при 5 К. Крит. показатель перехода $\beta = 0,207 \pm 0,015$, что указывает на поведение, отличающееся от предсказаний теории средн. поля.

В. А. Ступников

$[(CH_3)_2NH_2]_2SnCl_6$

1990

15 Б3105. Фазовая диаграмма и динамика в структурных фазовых переходах типа Ландау. Phase diagram and dynamics in Landau-type structural phase transitions / Krauzman M., Toupry N. // 12th Int. Conf. Raman Spectrosc.: Proc., Columbia, S. C., 13—17 Aug., 1990.— Chichester etc., 1990.— С. 464—465.— Англ.

В рамках формализма классич. теории Ландау фазовых переходов 2-го рода обсуждены лит. эксперим. результаты по исследованию фазовой диаграммы (кроме переходов 1-го рода в фазу V) монокристалла $[(CH_3)_2NH_2]_2SnCl_6$ методом спектроскопии КР. Фаза I, имеющая пр. гр. D_{2h}^{12} с $Z=2$, считается исходной фазой с параметрами порядка $Q=Q_2=0$. В фазе II Q_2 принадлежит к одномерному неприводимому представлению B_{2g} , что приводит к пр. гр. C_{2h} с геликоидальной бинарной осью. Параметр порядка Q_1 при-

T_{t2}

д. 1991, № 15

надлежит к B_{1g} , что индуцирует фазу IV с пр. гр. C_{2h} . В фазе III $Q_1 \neq 0$ и $Q_2 \neq 0$, симметрия снижена до C_i с подавлением всех бинарных осей. Q_2 запускается при фазовом переходе I-II типа порядок — беспорядок. Q_1 описывает искажение вследствие смещения с соотв-щей мягкой модой в спектре. Расчет свободной энталпии превращения и упругих св-в фаз совпадает с лит. эксперим. данными. В. А. Ступников

$((CH_3)_2NH_2)_2SnCl_6$

1990

8 E596. Фазовая диаграмма и динамика фазового перехода типа Ландау. Phase diagram and dynamics in Laudau-type structural phase transitions / Krauzman M., Tougru N. // 12th Int. Conf. Raman Spectrosc.: Proc., Columbia, S. C., 13—17 Aug., 1990.— Chichester etc., 1990.— С. 464—465.— Англ.

Метод КРС применен для построения T - P диаграммы $((CH_3)_2NH_2)_2SnCl_6$. Анализ изменений интенсивностей, частот, профилей линий и поляризации при переходах обнаружил наличие пяти фаз, разделенных линиями переходов I и II рода. Отмечается обнаруженная впервые точка, в которой существуют одновременно четыре фазы. Отмечается хорошее согласие результатов с данными др. авторов.

А. Б.

φ. 1991, № 8

1991

 $[(C_2H_5)_4N]_2SnCl_6$

19 Б3100. Фазовая последовательность гексахлорстанната тетраэтиламмония между 200 и 400 К. Phase sequence of tetaethylammonium hexachlorostannate between 200 K and 400 K /Kefata H., Ben Ghozlen M. H., Mlik Y. //Phase Transit. B.—1991.—33, № 1—4.—С. 127—129.—Англ.

Предложена модель изменения симметрии при трех фазовых переходах (по лит. данным при 264, 341 и 374 К) в $[(C_2H_5)_4N]_2SnCl_6$. Высокосимметричная высокотрнная фаза I имеет пр. гр. $Fm\bar{3}m$. Для описания соотношений симметрии между I и низкосимметричными фазами ($C2/c$ в фазе III и $P2_1/c$ в фазе IV, симметрия фазы II до сих пор неизвестна) в модели вводится два первичных параметра порядка, к-рые превращаются согласно неприводимым представлениям A_{1g} (трехмерное) и E_g (шестимерное) $Fm\bar{3}m$ при высокосимметричной точке X. Вз-вие этих двух параметров порядка позволяет застабилизировать новую подгруппу. На основе модели предсказывается, что действие давл. может индуцировать фазовые переходы в структуры с пр. гр. $P4/mnc$, $Cmca$ и $Pbca$. Фаза II должна иметь одну из этих пр. групп.

В. А. Ступников

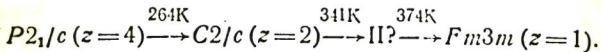
X. 1992, N 19

(T₂)

1991

E594. Последовательность превращений тетраэтиламмонийгексахлоростаниата между 200 и 400 К.
 Phase sequence of tetraethylammonium hexachlorostannate between 200 K and 400 K / Ketata H., Ben Ghazlen M. H., Mlik Y. // Phase Transit. B.— 1991.— 33, № 1—4.— С. 127—129.— Англ.

Полиморфизм $[(C_2H_5)_4N]_2SnCl_6$ (I) в интервале от 200 до 400 К описан в рамках теоретико-группового анализа. Установлена последовательность превращений I рода I



Фазовые переходы связаны с упорядочением групп $[(C_2H_5)_4N]_2$ и (или) с переориентацией октаэдров $SnCl_6^{2-}$. Симметрия промежуточной фазы II не установлена. Кристаллографич. описание превращений выполнено с введением двух параметров порядка, которые описывают изменение симметрии от $Fm\bar{3}m$ до одной из подгрупп G_1 или G_2 , которые относятся к высокотемпературной точке X кубич. зоны Бриллюэна.

Мономорфизм

phi. 1992, № 9

CH₃NH₃SnBr₃

1991

19 Б3025. Термические, электрические и диэлектрические свойства $\text{CH}_3\text{NH}_3\text{SnBr}_3$ при низких температурах.
Thermal, electric, and dielectric properties of $\text{CH}_3\text{NH}_3\text{SnBr}_3$ at low temperatures /Onoda-Yamamuro N., Matsuo T., Suga H. //J. Chem. Thermodyn. —1991.—23, № 10.—С. 987—999.—Англ.

В автоматизир. адиабатич. калориметре при т-рах 13—300 К измерена теплоемкость $\text{CH}_3\text{NH}_3\text{SnBr}_3$ (I). Найдены 4 аномалии при т-рах 46,0 К, 188,2 К, 213,0 К и 229,4 К, причем при 188,2 К и 229,4 К происходят фазовые переходы 1-го рода порядок — беспорядок, а в др. случаях — переходы более высокого порядка. Определены энталпии и энтропии переходов соотв. 0,016 кДж/моль и 0,37 Дж/моль·К; 1,00 и 6,02 ($R\ln 2,01$); суммарные значения для двух высокот-рных переходов 4,28 и 18,98 ($R\ln 9,8$). Последнее значение характеризует ориентац. разупорядочение ионов метиламмония в куб. подрешетке. С использованием полученных калориметрич. данных для I в интервале т-р 10—300 К рассчитаны и табулированы с шагом 10 К значения стандартных молярных термоди-

*Gр
(13 - 300K),*

T_{E2}

X. 1992, № 19

намич. ф-ций C_p/R , $\Delta_O^T H/R$; $\Delta_O^T S/R$ и Φ/R . При 298,15 К они составили соотв. 20,50; 5311 К; 41,22 и 23,41. Кроме того, при т-рах 20—300 К на частотах от 20 Гц до 1 МГц измерены комплексная диэлектрич. проницаемость и электропроводность I. Электропроводность при 229,4 К возрастает в 10^4 раз, характеризуя переход изолятор→ полупроводник. Энергия термич. активации проводимости высокот-рной фазы составила 29,1 кДж/моль. В. Ф. Байбуз

$\text{CH}_3\text{NH}_3\text{SnBr}_3$

1991

115: 216314w Thermal, electric, and dielectric properties of methylammonium tribromostannate at low temperatures. Onoda-Yamamuro, N.; Matsuo, T.; Suga, H. (Fac. Sci., Osaka Univ., Toyonaka, Japan 560). *J. Chem. Thermodyn.* 1991, 23(10), 987-99 (Eng). The heat capacity of $\text{CH}_3\text{NH}_3\text{SnBr}_3$ was measured at temps. between 13 and 300 K. Four anomalies were found. Their temps. and entropy changes were detd. The transition entropies indicate that the transition at 46.0 K is of the displacive type and those at 188.2 K and 229.4 K of the order-disorder type. The total of the transition entropies is consistent with the orientational disorder of the methylammonium ion in a cubic environment. The elec. properties changed from insulating to semiconducting at the 229.4 K transition where the cond. increased by a factor of 10^4 as the transition temp. was traversed from below. A thermal activation energy of 29.1 kJ/mol was detd. for the cond. of the high-temp. phase. A dielec. dispersion was found < 150 K for frequencies between 20 Hz and 1 MHz. A Cole-Cole anal. of the dielec. permittivities showed that the relaxation is characterized by a strong deviation from a single Debye process.

C.A. 1991, 115, N20

$(CH_3NH_3)_2SnCl_6$ Om. 40346

1998

128: 223045f A phase transition in $(CH_3NH_3)_2SnCl_6$ investigated by Raman scattering. Shi, J. R.; Kume, Y.; Pelzl, J.; Xu, Y. C.; Wu, X. (Pohl Institute of Solid State Physics, Tongji University, Shanghai, Peop. Rep. China 200092). *J. Raman Spectrosc.* 1998, 29(2), 149–151 (Eng), John Wiley & Sons Ltd.. Raman spectra of $(CH_3NH_3)_2SnCl_6$ were recorded in the temp. range 5–300 K. A continuous phase transition occurs at $T_c = 155$ K. The fact that all the E modes of the $CH_3-NH_3^+$ ion and the $SnCl_6^{2-}$ ion remain degenerate in the low-temp. phase indicate that $(CH_3NH_3)_2SnCl_6$ still has a trigonal structure in the low-temp. phase. No soft mode was obsd. in the low-temp. range.

(Hz)

CA-1998; 128, N18